

산국 꽃의 Germacranolides

장대식, 박기훈, 양민석*

경상대학교 농과대학

Germacranolides from Flowers of *Chrysanthemum boreale* Makino

Dae Sik Jang, Ki Hun Park and Min Suk Yang*

College of Agricultural, Gyeongsang National University, Chinju 660-701, Korea

Abstract – Two sesquiterpene lactones were isolated from the flowers of *Chrysanthemum boreale* Makino by the silica gel column chromatography and recrystallization. On the basis of spectrometric studies including ¹H-NMR, ¹³C-NMR, DEPT, ¹H-¹H COSY, ¹³C-¹H COSY, IR and Mass, compounds 1 and 2 were identified as germacranolide, tulipinolide and costunolide, respectively. And they showed antibacterial activity against *Vibrio parahaemolyticus*, *Bacillus subtilis*, *Bacillus cereus* and *Staphylococcus aureus*. This is the first report that *Chrysanthemum boreale* contained tulipinolide and costunolide.

Key words – *Chrysanthemum boreale*: Compositae; germacranolide; costunolide; tulipinolide; antibacterial activity.

산국(*Chrysanthemum boreale* Makino)은 10~11월에 걸쳐 전국의 야산에서 1~1.5 cm 크기의 노란 꽃을 피우는 국화과(Compositae)의 다년생 초본으로서 꽃을 야국화(野菊花)이라 하여 감국(甘菊, *C. indicum*)과 함께 한방에서 주로 두통, 재풍열, 청혈해독 등에 주로 사용되어 왔으며, 산국을 주성분으로 하는 국화주나 국화차는 신라시대부터 오늘날까지 음용하여 왔다.^{1,2)} 산국 꽃의 추출물에 대해서는 중추신경 진정작용이나, 혈압강화작용, 결핵균과 각종 바이러스에 대한 억제효과 및 폐암과 간암에 대한 효과를 비롯한 다양한 생리활성들이 알려져 있으나,³⁻⁵⁾ tetracosane과 같은 몇 가지 정유성분⁶⁾이나 배당체인 acacetin-7-rhamnoglucoside⁷⁾가 검출된 바가 있을 뿐 아직까지 약효성분에 대한 연구가 미흡한 실정이다.

따라서 본 연구자 등은 산국 꽃의 생리활성물질에 대한 연구의 일환으로, guaianolide계 sesquiterpene lactone인 cumambrin A를 분리하여 화학적 구조를 규명한바 있다.⁸⁾ 이 식물에 대한 계속적인 연구에 의해 2종의 germacranolide계 sesquiterpene lactone을 분리하여, 이화학적 성상과 분광학적인 자료를 토대로 이들의 화학적 구조를 동정하였으며, *Vibrio parahaemolyticus*를 비롯한 10종의 세균에 대한 항균활성을 시험하였기에 그 결과들을 보고하고자 한다.

재료 및 방법

실험재료 – 1996년 10월~11월, 진양군과 함양군 일대에서 산국의 꽃을 채취하여 읍건 세절한 후 분말로 하여 사용하였으며, 증거표본은 함양약초시험장 식물표본실에 보관되어 있다.

*교신저자 : Fax 0591-57-0178

기기 및 시약 – UV/Vis 실험은 Beckman DU-70 spectrophotometer, MS 실험은 DX300(JMX) mass spectrometer 그리고 IR 실험은 Bruker IFS66 spectrophotometer를 사용하였다. NMR 실험은 Bruker AW500을 사용하였으며, 내부표준 물질로는 tetramethylsilane(TMS)을, 용매로는 CDCl₃를 사용하였다. Column chromatography용 silica gel은 Kiselgel 60(70~230, 230~400 mesh)을, 분리확인용 TLC는 Merck사의 No. 5715를 사용하였으며, 기타 시약은 특급 및 일급을 사용하였다.

추출 및 분리 – 음건·세척한 산국의 꽃 3 kg을 CH₂Cl₂에 1일 침지하여 3회 추출한 후, lead acetate를 처리하여 색소나 페놀화합물이 어느 정도 제거된 조추출물을 얻었다. 조추출물은 CHCl₃/MeOH = 0/1 → 9/1의 유출용매로 silica gel column chromatography를 실시하여 TLC pattern에 따라서 12개의 subfraction(F1~F15)으로 나누었으며, subfraction F5와 F6으로부터 반복적인 silica gel column chromatography와 재결정법을 이용하여 compound 1과 2를 각각 분리하였다.

화합물 1 – F6 분획을 n-hexane/ethyl acetate = 9/1의 유출용매로 silica gel column chromatography를 실시한 후 petroleum ether로 재결정하여 백색의 침상결정 99 mg을 얻었다.

mp: 185°C dec.; UV λ_{max} (CHCl₃): 227 nm; MS m/z (EI, 70 eV, rel. int.); 230(M⁺-60), 215, 119; IR $\nu_{\text{max}}^{\text{KBr}}$ cm⁻¹: 2939, 2842, 1752, 1745, 1657; ¹H-NMR(500 MHz, CDCl₃) δ : 1.57(d, J = 1.4 Hz, 3H), 1.71(d, J = 1.4 Hz, 3H), 2.06(m, 1H), 2.08(s, 3H), 2.18(m, 1H), 2.27(m, 1H), 2.30(m, 1H), 2.41(m, 1H), 2.51(m, 1H), 3.02(m, 1H), 4.75(m, 1H), 4.83(m, 1H), 4.91(m, 1H), 5.01(m, 1H), 5.81(d, J = 2.3 Hz, 1H), 6.34(d, J = 3.1 Hz, 1H); ¹³C-NMR(125 MHz, CDCl₃) δ : 17.0, 17.4, 21.2, 25.5, 38.6, 49.2, 52.8, 72.6, 78.4, 125.0, 127.5, 129.9, 131.9, 135.8, 142.2, 169.7, 169.9

화합물 2 – F5 분획을 n-hexane/ethyl acetate = 19/1의 용출용매로 silica gel column chromatography와 toluene/ethyl acetate = 9/1을 전개 용매로 한 preparative TLC를 실시한 후 petro-

leum ether로 재결정하여 무색의 침상결정 30 mg을 얻었다.

mp: 172~174°C; UV λ_{max} (CHCl₃): 227 nm; MS m/z (FAB⁺, NBA): 232(M⁺), 217, 109, 81; IR $\nu_{\text{max}}^{\text{KBr}}$ cm⁻¹: 2945, 2820, 1754, 1620; ¹H-NMR (500 MHz, CD₃OD) δ : 1.42(s, 3H), 1.69(m, 1H), 1.70(d, J = 1.4 Hz, 3H), 2.04(m, 1H), 2.08(m, 1H), 2.12(m, 1H), 2.18(m, 1H), 2.23(m, 1H), 2.30(m, 1H), 2.45(dd, J_1 = 13.5 Hz, J_2 = 6.2 Hz, 1H), 2.57(m, 1H), 4.56(dd, J_1 = 9.9 Hz, J_2 = 8.7 Hz, 1H), 4.76(m, 1H), 4.85(m, 1H), 5.52(d, J = 3.2 Hz, 1H), 6.25(d, J = 3.6 Hz, 1H); ¹³C-NMR (125 MHz, CDCl₃) δ : 16.1, 17.4, 26.2, 28.1, 39.5, 41.1, 50.5, 81.9, 119.6, 127.1, 127.4, 137.0, 140.2, 141.5, 170.4

항균활성 실험 – 실험에 사용한 균주는 gram 양성균으로서 *Bacillus subtilis*(ATCC 9372), *Bacillus cereus*(ATCC 27348), *Staphylococcus aureus*(ATCC 13301), *Staphylococcus epidermidis*(ATCC 12228) 및 *Streptococcus faecalis*(IFO 3971), gram 음성균으로서 *Escherichia coli*(ATCC 15489), *Salmonella typhimurium*(ATCC 14028), *Vibrio parahaemolyticus*(ATCC 33844), *Klebsidiae pneumoniae*(ATCC 13883) 및 *Pseudomonas aeruginosa*(ATCC 10490)를 한국종균협회에서 분양받아 사용하였다.

시료의 항균력은 한천배지확산법(disk-agar plate diffusion method)으로 측정하였다.⁹⁾ 즉, 시료용액을 0.45 μm membrane filter(Milipore, USA)로 여과하여 멸균된 filter paper disk(Toyo, 8 mm, Japan)에 흡수시킨 후, 용매를 완전히 휘산시키고 시험용 평판배지위에 놓아 밀착시키고 30°C의 incubator에서 24시간 배양한 다음 disk 주변의 clear zone의 직경을 측정하였다.

결과 및 고찰

산국의 꽃 3 kg으로부터 compound 1(99 mg)과 compound 2(30 mg)를 분리하였으며 이들은 10% 황산에 의하여 붉은 색으로 발색되었다.

Compound 1은 무색의 침상결정(mp 185°C

dec.)으로 IR spectrum에서 1752와 1745 cm^{-1} 에서 2개의 carbonyl group이 관찰되었다. MS spectrum에서 분자이온 peak $m/z=290$ 은 EI(70 eV)에서 관찰되지 않았지만 $m/z=248(\text{M}^+-42)$ peak과 $m/z=230(\text{M}^+-42-18)$ peak로부터 acetyl group이 존재함을 추정할 수 있었다. $^1\text{H-NMR}$ spectrum의 δ 5.52 ppm과 δ 6.23 ppm에서의 2개의 doublet으로부터 γ -lactone의 exocyclic α -methylene group이 존재함을 예상할 수 있었다. 그리고 $^{13}\text{C-NMR}$ 과 DEPT spectrum에서 3개의 CH_3 , 4개의 CH_2 , 5개의 CH 그리고 5개의 4차 탄소가 관찰되었으며, 이와 같은 결과들을 통해 compound 1의 분자식은 $\text{C}_{17}\text{H}_{22}\text{O}_4$ 로 추정할 수 있었다. $^{13}\text{C}-^1\text{H}$ COSY spectrum에서는 vinylic methylene 1개와 endo methylene 3개가 존재함을 알았으며, $^1\text{H}-^1\text{H}$ COSY spectrum에서, H 13a/b(5.80 ppm, 6.34 ppm)는 allylic 위치의 H7(3.02 ppm)과, H7은 H8(5.02 ppm) 및 H6(4.83

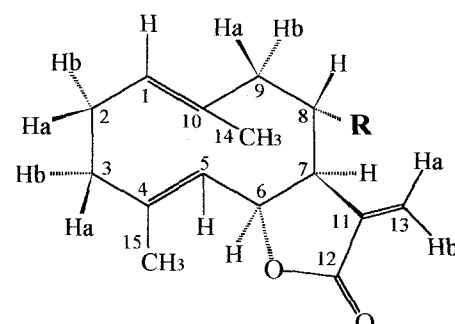
Table I. $^1\text{H-NMR}$ and $^{13}\text{C-NMR}$ spectral data of compounds 1 and 2

Position	$^1\text{H-NMR}$		$^{13}\text{C-NMR}$	
	com- ound 1	com- ound 2	com- ound 1	com- ound 2
1	5.01 m	4.85 m	129.9	127.4
2	2.18 m	2.18 m	25.5	26.2
	2.27 m	2.23 m		
3	2.06 m	2.04 m	38.6	39.5
	2.30 m	2.30 m		
4	-	-	131.9	137
5	4.75 m	4.76 m	127.5	127.1
6	4.83 m	4.56 dd(9.9, 8.7)	78.4	81.9
7	3.02 m	2.57 m	52.8	50.5
8	5.01 m	2.08 m	72.6	28.1
		1.69 m		
9	2.41 m	2.45 dd(13.5, 6.2)	49.2	41.1
	2.51 m	2.12 m		
10	-	-	135.8	140.2
11	-	-	142.2	141.5
12	-	-	169.9	170.4
13	6.34 d(3.1)	6.25 d(3.6)	125.0	119.6
	5.81 d(2.3)	5.52 d(3.2)		16.1
14	1.57 d(1.4)	1.42 s	17.0	17.4
15	1.71 d(1.4)	1.70 d(1.4)	17.4	-
1'	-	-	169.7	-
2'	2.08 s	-	21.2	

Coupling constants ($J=\text{Hz}$) are given in parentheses

ppm)과, H8은 H9a/b(2.42 ppm, 2.52 ppm)와의 상관관계가 각각 관찰되었다. H6은 H5(4.74 ppm)와, H5는 allylic 위치에 있는 H15(1.68 ppm)와 상관관계가 관찰되었으며, H1(4.91 ppm)은 H2a/b(2.32 ppm, 2.27 ppm) 및 allylic 위치의 H14(1.57 ppm)과, H2a/b는 H3a/b(2.08 ppm, 2.32 ppm)와 각각 상관관계가 관찰되었다. HMBC 스펙트럼에서는 C1(129.9 ppm)이 H9a/b(2.52 and 2.42 ppm)와 강한 상관관계가 나타났으며, 또한 C5(127.5 ppm)는 H3a(2.32 ppm)와 상관관계가 나타났다. 이상의 분광학적 결과와 문헌의 자료를 비교해 본 결과, compound 1은 *Liriodendron tulipifera* 등의 식물에서 분리된 germacraneolide인 tulipinolide¹⁰로 동정하였으며, 이 화합물은 산국에서는 처음으로 분리 보고되는 것이다.

Compound 2는 무색의 침상결정(mp 99~101 $^\circ\text{C}$)으로, IR spectrum에서 1754 cm^{-1} 의 carbonyl group이 관찰되었고, MS spectrum에서는 분자이온 peak가 $m/z=233(\text{M}^++\text{H})$ 에서 관찰되었다. $^1\text{H-NMR}$ spectrum에서는 sesquiterpene lactone임을 예상하게 하는 2개의 doublet peak가 δ 5.51 ppm과 δ 6.26 ppm에서 관찰되었으며, 이와 같은 자료를 토대로 compound 2의 분자식은 $\text{C}_{17}\text{H}_{22}\text{O}_4$ 로 추정할 수 있었다. Compound 2의 $^{13}\text{C}-^1\text{H}$ COSY와 $^1\text{H}-^1\text{H}$ COSY spectrum은 compound 1의 경우와 거의 유사하여 두 화합물의 풀격이 같을 것으로 예상하였으며, 이상의 분광학적 결과를 문헌의 자료와 비교해 본 결과, compound 2는 *Peucedaphne schottii* 등의 식물로부터 분리



Compound 1 R = OAc

Compound 2 R = H

Fig. 1. Chemical structures of compounds 1 and 2.

Table II. Antibacterial activity of compounds 1 and 2 isolated from flowers of *C. boreale* against 10 bacteria

Bacteria	Compounds	Compound 1	Compound 2
<i>E. coli</i>	—	—	—
<i>S. typhimurium</i>	—	—	—
<i>V. parahaemolyticus</i>	14*(4)**	11(15)	—
<i>K. pneumoniae</i>	—	—	—
<i>P. aeruginosa</i>	9(50)	—	—
<i>B. subtilis</i>	18(6)	11(15)	—
<i>B. cereus</i>	13(10)	10(25)	—
<i>S. aureus</i>	11(16)	—	—
<i>S. epidermidis</i>	—	—	—
<i>S. faecalis</i>	—	—	—

* Diameter of clear zone (mm), 100 µg/disk

** MIC by paper disk-agar diffusion method (µg/disk)

된 costunolide¹¹⁾인 것으로 동정하였으며 이 화합물 역시 산국에서는 처음으로 분리되는 화합물이다.

Compound 1(tulipinolide)과 compound 2(costunolide)에 대한 항균성 실험결과(Table II), 두 물질 모두 실험에 사용한 10종의 세균 중에서 *Vibrio parahaemolyticus*, *Bacillus subtilis*, *Bacillus cereus* 및 *Staphylococcus aureus*에 대해 활성을 나타내었으며, compound 1이 compound 2보다 더 강한 항균활성을 보였다.

결 론

산국 꽃의 CH₂Cl₂ 추출물에 lead acetate를 처리하여 얻어진 조추출물로부터 silica gel column chromatography와 재결정법을 이용하여 2종의 화합물을 분리하였다. 이 화합물들에 대한 항균성 실험 결과, 실험에 사용한 10종의 세균 중에서 *Vibrio parahaemolyticus*, *Bacillus subtilis*, *Bacillus cereus* 및 *Staphylococcus aureus*에 대해 활성을 나타내었으며, 1D-NMR 및 2D-NMR을 비롯한 분광학적 자료와 문헌의 자료를 비교해 본 결과 germacranoide계 sesquiterpene lactone인 tulipinolide와 costunolide인 것으로 동정되

었다. 이들은 산국에서는 처음으로 분리·보고되는 화합물이다.

사 사

이 연구는 1997년도 농림부에서 시행한 농림수산 특정연구사업의 연구결과 중 일부입니다.

인용문헌

1. 고경식, 김민석 (1991) 원색한국식물도감, 329. 아카데미서적, 서울.
2. 김태성 (1993) 약이 되는 야생초, 19. 대원사, 서울.
3. 우원식 (1975) 국산생약(식물)의 생물학적 검색. 서울 대학교 생약연구소 업적집 14: 69-74.
4. 竹谷孝一, 系川秀治 (1993) 東洋資源植物學會, 1993年度 天然抗癌資源의開發에 關한 國際學術會議-生物活性スクリーニングによる 天然物 資源からの 抗腫瘍活性物質の分離, 同定.
5. 김수철 (1993) 東洋資源植物學會, 1993年度 天然抗癌物質의開發에 關한 國際學術會議 백두산 항암식물 유전자원의 조사연구.
6. 육창수 (1990) 원색한국약용식물도감, 536. 아카데미서적, 서울.
7. Dan, B. and Andrew, G. (1986) Chinese herbal medicine, 59. Eastland Press, Seattle.
8. Yang, M. S., Park, K. H., Jang, D. S., Choi, S. U., Nam, S. H. and Mooto, S. (1996) Cumambarin A in *Chrysanthemum boreale* Makino. Kor. J. Pharmacogn. 27(3): 207-211.
9. Piddok, L. J. V. (1990) Techniques used for the determination of antibacterial resistance and sensitivity in bacteria. J. Appl. Bacteriol. 68: 307-318.
10. Raymond, W. D. and Farouk, S. E. F. (1970) The structure of tulipinolide and epitulipinolide. Cytotoxic sesquiterpenes from *Liriodendron tulipifera* L. J. Org. Chem. 35(6): 1928-1936.
11. Adewole, L. O., Shichih, L., Alice, M. C., Charles, D. H. and Robin, D. R. (1994) Sesquiterpene lactones from *Peucedaphyllum schotti*. Phytochem. 35(1): 191-194.

(1998년 3월 20일 접수)